



## АВТОКОЛЕБАНИЯ В ДИССИПАТИВНОЙ КОЛЬЦЕВОЙ ЦЕПОЧКЕ ТОДЫ

*П.С. Ланда, В.Г. Ушаков, В. Эбелинг*

Исследуются различные моды автоколебаний в кольцевой цепочке Тоды с дополнительным отрицательным трением. Предполагая, что при малой диссипации форма автоколебаний близка к форме солитоноподобных решений, найденных Тодой, вычисляются стационарные значения параметров автоколебаний. Показано, что цепочка, состоящая из  $N$  элементов, имеет  $N+1$  различных мод автоколебаний. Среди них две моды соответствуют вращению цепочки как целого вправо и влево с постоянной скоростью. Каждая из остальных мод представляет собой комбинацию движущегося «солитона» и вращения с постоянной скоростью, зависящей от номера моды. Только для моды, в которой соседние элементы колеблются в противофазе, постоянная составляющая скорости равна нулю. Заметим, что эта мода существует только при четном  $N$ .

### Введение

Цепочки однородных осцилляторов с экспоненциальным взаимодействием были впервые исследованы Тодой [1–3]. Позже было обнаружено, что уравнения с потенциалом Тоды являются общими для большого числа физических систем. Такие уравнения, например, встречаются при решении задач о самосинхронизации мод в лазерах [4].

Поскольку уравнения Тоды являются полностью интегрируемыми [5], то в них возможно появление стационарных «волн», подобных солитонам в сплошных средах. Частное решение уравнений Тоды, описывающее такие «солитоны», было найдено в [2]. Однако, как показали наши исследования, даже при численном моделировании уравнений Тоды получить такие решения трудно, так как в широком диапазоне начальных условий колебания в системе имеют хаотический характер. Это связано с высокой чувствительностью данной системы как к слабому шуму (роль такого шума при численном моделировании играют ошибки округления), так и к малым отклонениям системы от полностью интегрируемой (в частности, такие отклонения возникают потому, что при вычислении экспонент, входящих в уравнения Тоды, используется разложение в ряд Тейлора и принимается во внимание только ограниченное, хотя и достаточно большое число членов этого ряда). Тот факт, что малые отклонения от интегрируемости могут приводить к хаосу, был подмечен еще Хеноном и Хейлесом [6], которые рассматривали консервативную кольцевую цепочку Тоды из трех элементов и преднамеренно оставляли только первые члены разложения экспонент в ряд.

Очевидно, что солитоноподобные волны возможны не только в

консервативных цепочках Тоды, но и в близких к ним автоколебательных системах. Волны в таких системах получили название автосолитонов [7]. Следует отметить, что в последнее время появилась обширная литература по автосолитонам, содержащая как теоретические, так и экспериментальные исследования. Мы укажем здесь только две работы [8,9], имеющие прямое отношение к теме настоящей статьи.

Интересно, что внесение слабой диссипации в систему часто стабилизирует ее поведение, приводя к возможности наблюдения солитоноподобных волн как в численном, так и в физическом экспериментах. Автосолитоны в активных кольцевых цепочках Тоды численно были получены, по-видимому впервые, в [10,11].

Целью настоящей работы является более детальное исследование различных мод автоколебаний в активной кольцевой цепочке Тоды с использованием аналитических методов. Будет показано, что такая цепочка, состоящая из  $N$  элементов, имеет  $N+1$  мод, две из которых соответствуют равномерному вращению всей цепочки вправо и влево.

## 1. Уравнения автоколебательной цепочки Тоды

Рассмотрим кольцевую цепочку, состоящую из  $N$  шариков массы  $m$ , соединенных нелинейными пружинками. Расстояние между соседними шариками

$$z_j = x_j - x_{j-1} \quad (1)$$

определяет растяжение  $j$ -й пружинки (см. [12]). Запишем уравнения такой цепочки, введя дополнительные малые диссипативные члены

$$m\ddot{x}_j + \alpha[f(z_{j+1}) - f(z_j)] = m\mu(a - \gamma^2 \dot{x}_j^2)\dot{x}_j, \quad j=1,2,\dots,N, \quad (2)$$

где  $f(z) = -(1 - e^{-\gamma z})$ . Нелинейная функция  $\alpha f(z)$  описывает силу упругости пружин. Члены  $m\mu\alpha\dot{x}_j$  отвечают за отрицательное линейное трение, приводящее к возбуждению автоколебаний, а члены  $-m\mu\gamma^2\dot{x}_j^3$  описывают ограничение амплитуды этих автоколебаний. Для удобства перейдем к переменным  $x'_j = \gamma x_j$  и в дальнейшем будем опускать штрихи. В результате уравнение цепочки примет вид

$$m\ddot{x}_j + \alpha\gamma[f(z_{j+1}) - f(z_j)] = m\mu(a - \dot{x}_j^2)\dot{x}_j, \quad j = 1,2,\dots,N, \quad (3)$$

где

$$f(z) = -(1 - e^{-z}) \quad (4)$$

Поскольку цепочка замкнута в кольцо, то для любого  $j$  должны выполняться условия

$$x_{j+N} = x_j, \quad \dot{x}_{j+N} = \dot{x}_j. \quad (5)$$

## 2. Солитоноподобные колебания в консервативной цепочке Тоды

Солитоноподобные колебания цепочки, описываемой уравнением (3) при  $\mu=0$ , были найдены Тодой [2]. Используем замену переменных, подобную той, которую сделал Тода

$$y_j = \alpha\gamma f(z_j)/m. \quad (6)$$

При такой замене уравнения (3) при  $\mu=0$  переходят в

$$\dot{x}_j - y_j + y_{j+1} = C, \quad (7)$$

где  $C$  — произвольная постоянная. Совершая преобразования, подобные

изложенным в [12], получаем уравнения для  $y_j$

$$\ddot{y}_j = (\dot{y}_j + \omega_0^2/4)(y_{j-1} - 2y_j + y_{j+1}), \quad (8)$$

где  $\omega_0 = 2(\alpha\gamma/m)^{1/2}$ . Частное решение уравнения (8), имеющее вид «бегущей волны» [12], выражается через эллиптическую дзета-функцию Якоби

$$y_j(t) = A \operatorname{zn}(\mathbf{K}(k)\xi_j/\pi, k), \quad (9)$$

где  $\xi_j = \omega t - \beta j$ ,  $\operatorname{zn}(\vartheta, k) = \int_0^\vartheta [\operatorname{dn}(x, k)]^2 dx - \mathbf{E}(k)\vartheta/\mathbf{K}(k)$  – эллиптическая дзета-функция Якоби [13],  $\mathbf{K}(k)$  и  $\mathbf{E}(k)$  – полные эллиптические интегралы первого и второго рода, соответственно. Подставляя (9) в (8), находим уравнения, связывающие амплитуду  $A$ , модуль эллиптической функции  $k$ , частоту  $\omega$  и сдвиг фаз  $\beta$  между колебаниями соседних элементов

$$A = \omega \mathbf{K}(k)/\pi, \quad (10)$$

$$\omega = \pi\omega_0/[2\mathbf{K}(k)]\{1 - [1 - \mathbf{E}(k)/\mathbf{K}(k)]\operatorname{sn}^2(\mathbf{K}(k)\beta/\pi, k)\}^{-1/2}\operatorname{sn}(\mathbf{K}(k)\beta/\pi, k). \quad (11)$$

Легко проверить, что (11) при малых  $k$  переходит в дисперсионное уравнение для соответствующей линейной цепочки.

Как видно из (7) и (9), скорость  $j$ -го шарика

$$\dot{x}_j(\xi_j) = F(\xi_j, k, \omega) + C, \quad (12)$$

где

$$F(\xi_j, k, \omega) = A [\operatorname{zn}(\mathbf{K}(k)\xi_j/\pi, k) - \operatorname{zn}(\mathbf{K}(k)(\xi_j - \beta)/\pi, k)]. \quad (13)$$

Очевидно, что  $\dot{x}_j(t)$  является периодической функцией  $\xi_j$  с периодом  $2\pi$ . При  $k \rightarrow 1$  имеем  $\mathbf{E}(k) \rightarrow 1$ ,  $\mathbf{K}(k) \rightarrow \ln(4/(1-k^2)^{1/2})$ ,  $\operatorname{dn}\vartheta \rightarrow 1/\cosh\vartheta$ ,  $\operatorname{zn}\vartheta \rightarrow \tanh\vartheta - \vartheta/\mathbf{K}(k)$ . Отсюда следует, что при  $k \rightarrow 1$

$$\dot{x}_j(\xi_j) \approx \omega_0 [\mathbf{K}(k)]^{1/2}/2 \{ \sum_{n=-\infty}^{\infty} \tanh(\mathbf{K}(k)(\xi_j + 2n\pi)/\pi) - \tanh(\mathbf{K}(k)(\xi_j + 2n\pi - \beta)/\pi) - \beta/\pi \} + C. \quad (14)$$

Формула (14) позволяет вычислить аналитически  $x_j(\xi_j)$  для  $k$ , близких к 1,

$$x_j(\xi_j) \approx \sum_{n=-\infty}^{\infty} \ln \{ \cosh(\mathbf{K}(k)(\xi_j + 2n\pi)/\pi) \cosh^{-1}(\mathbf{K}(k)(\xi_j + 2n\pi - \beta)/\pi) \} - \beta \mathbf{K}(k) \xi_j / \pi^2 - x_0 + Ct, \quad (15)$$

где

$$x_0 = 1/(2\pi) \int_0^{2\pi} \{ \sum_{n=-\infty}^{\infty} \ln [ \cosh(\mathbf{K}(k)(\xi_j + 2n\pi)/\pi) \times \\ \times \cosh^{-1}(\mathbf{K}(k)(\xi_j + 2n\pi - \beta)/\pi) ] - \beta \mathbf{K}(k) \xi_j / \pi^2 \} d\xi_j.$$

Из условия (5) можно найти возможные значения  $\beta$

$$\beta = \beta_n = 2\pi n/N, \quad n = 0, \dots, N. \quad (16)$$

Следует отметить, что значениям  $n=0$  и  $n=N$  соответствуют решения  $x_j=C$ , описывающие равномерное вращение всей цепочки как целого в том или ином направлении. Таким образом, цепочка из  $N$  элементов имеет  $N+1$  различных мод колебаний. Эти моды отличаются одна от другой по форме, амплитуде, частоте и сдвигу фаз между колебаниями соседних шариков. Примеры зависимостей  $\dot{x}_j$  и  $x_j$  от  $\xi_j$  для консервативной цепочки приведены на рис. 1 для  $k=1-10^{-7}$  и двух значений  $\beta$ .

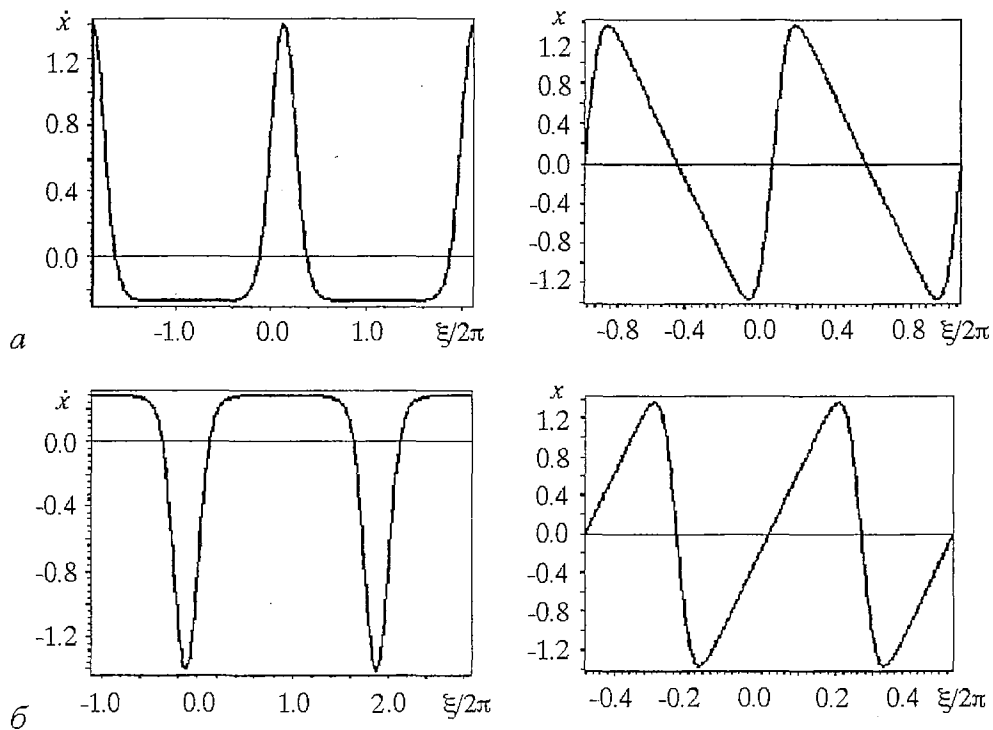


Рис. 1. Примеры зависимостей  $\dot{x}_j$  и  $x_j$  от  $x=(\omega t - \beta j)/(2\pi)$  для  $k=1-10^{-7}$ : а -  $\beta=\pi/4$ , «светлые» солитоны; б -  $\beta=7\pi/4$ , «темные» солитоны

Как видно из рисунка, при увеличении  $\beta$  «светлые» солитоны сменяются «темными».

В активной цепочке, описываемой уравнениями (3), каждая из этих мод порождает соответствующий аттрактор. Эти аттракторы можно разделить на два типа. Первому типу соответствует равномерное вращение цепочки со скоростью  $\pm a^{1/2}$ . Второму типу – колебания, наложенные на равномерное вращение.

### 3. Приближенное вычисление амплитуд автоколебаний и скоростей вращения цепочки

В случае малой диссипации запишем порождающее решение для системы (3) в виде (12). Это решение включает две произвольные постоянные: модуль эллиптической функции  $k$ , который определяет амплитуду и форму автоколебаний для соответствующей моды, и  $C$ , определяющую скорость равномерного вращения всей цепочки. Из (12), (13) и уравнений (3) следует, что при  $n=0$  и  $n=N$  мы имеем  $\dot{x}_j=C=\pm a^{1/2}$ . Для определения  $k$  и  $C$ , соответствующих остальным модам, потребуем, чтобы законы сохранения энергии и импульса, справедливые для консервативной цепочки, в случае активной цепочки выполнялись в среднем за период колебаний. Такой подход подобен используемому Уиземом [14] для получения усредненных уравнений. Для удовлетворения первого требования для каждого  $j$  умножим  $j$ -е уравнение из системы (3) на  $\dot{x}_j$ , просуммируем все уравнения и усредним все по периоду. В результате получим

$$d/dt \sum_{j=1}^N \int_0^{2\pi} [x_j^2/2 + \omega_0^2 f(z_j)/4] d\xi_j = \mu \sum_{j=1}^N \int_0^{2\pi} (a - \dot{x}_j^2) \dot{x}_j^2 d\xi_j. \quad (17)$$

Для вычисления интегралов необходимо подставить в (17) решение (12) с учетом (13) и выражение

$$f(z_j) = 4\mathbf{K}(k)\omega^2/(\pi^2\omega_0^2)[\mathbf{K}(k)\operatorname{dn}^2(\mathbf{K}(k)\xi_j/\pi, k) - \mathbf{E}(k)].$$

При расчете интегралов  $k$  и  $C$  считаются константами. Легко видеть, что все слагаемые в (17) одинаковы. В результате получим одно из укороченных уравнений для  $k$  и  $C$ .

Другое укороченное уравнение найдем из усредненного закона сохранения импульса. Чтобы получить это уравнение, сложим уравнения (3), принимая во внимание, что, как следует из закона сохранения импульса для порождающего решения,  $\sum_{j=1}^N [f(z_{j+1}) - f(z_j)] = 0$  и  $\sum_{j=1}^N \partial F(\xi_j, k) / \partial \xi_j = 0$ . Усредняя полученное уравнение по периоду, получим

$$\sum_{j=1}^N \overline{[\partial F / \partial k (dk/dt) + dC/dt]} = \mu / (2\pi) \sum_{j=1}^N \int_0^{2\pi} (a - \dot{x}_j^2) \dot{x}_j d\xi_j, \quad (18)$$

где

$$\overline{F} = 1 / (2\pi) \int_0^{2\pi} F(\xi_j, k, \omega) d\xi_j. \quad (19)$$

Здесь, как и в (17), все слагаемые одинаковы.

Поскольку определение левых частей уравнений (17) и (18) представляет большие вычислительные трудности, мы ограничимся только расчетом стационарных значений  $k$  и  $C$  для различных мод колебаний, приравнявая нулю правые части уравнений (17) и (18)

$$\int_0^{2\pi} (a - \dot{x}_j^2) \dot{x}_j^2 d\xi_j = 0, \quad (20)$$

$$\int_0^{2\pi} (a - \dot{x}_j^2) \dot{x}_j d\xi_j = 0. \quad (21)$$

Система уравнений (20), (21) для  $k$  и  $C$  была решена численно при  $N=8$ . Результаты представлены на рис. 2 и 3, где показаны зависимости стационарных значений модуля  $k$  и постоянной составляющей скорости  $C$  от номера моды. Следует отметить, что в случае  $a=1.0$  и  $\omega_0=1$  значения  $k$  очень близки к 1, что оправдывает применение приближенных формул. Увеличение  $\omega_0$  или уменьшение  $a$  приводит, в целом, к уменьшению  $k$ . В случае  $a=0.1$  и  $\omega_0=4$  для моды с номером  $n=4$

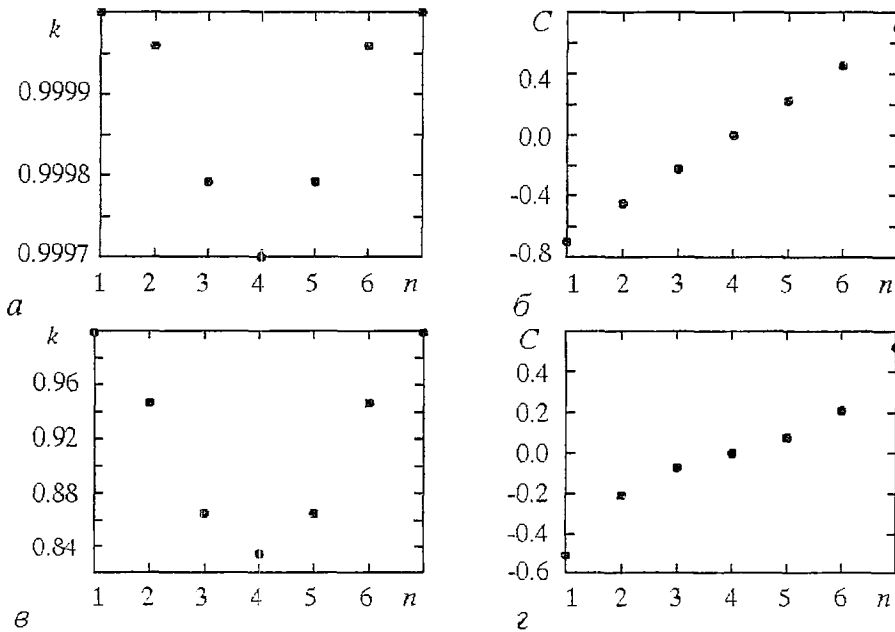


Рис. 2. Зависимости модуля эллиптических функций и постоянной составляющей скорости от номера моды при  $a=1.0$ :  $\omega_0=1$  (а, б);  $\omega_0=4$  (в, г)

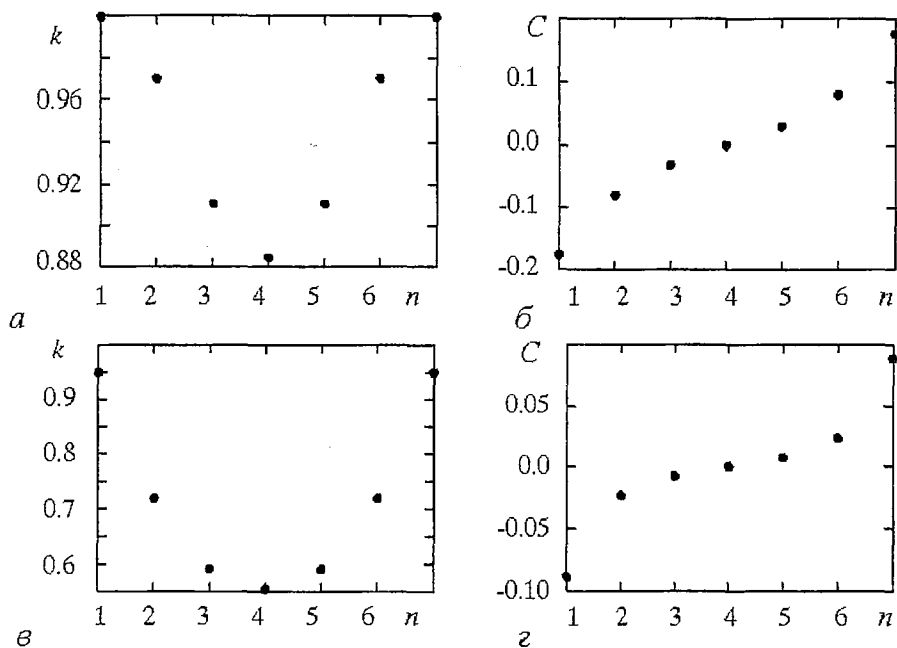


Рис. 3. Зависимости модуля эллиптических функций и постоянной составляющей скорости от номера моды при  $a=0.1$ :  $\omega_0=1$  (а, б);  $\omega_0=4$  (в, з)

значения  $k$  оказываются настолько малы, что возможна аппроксимация эллиптических функций соответствующими тригонометрическими. Из зависимости  $C$  от  $n$  видно, что только при  $n=N/2=4$  постоянная составляющая скорости равна нулю. При этом соседние элементы колеблются в противофазе. Очевидно, что такой режим возможен только при четном  $N$ . С уменьшением  $a$  и увеличением  $\omega_0$  уменьшается диапазон изменения постоянной составляющей скорости.

На рис. 4 представлены результаты вычислений  $\omega/\omega_0$  в зависимости от

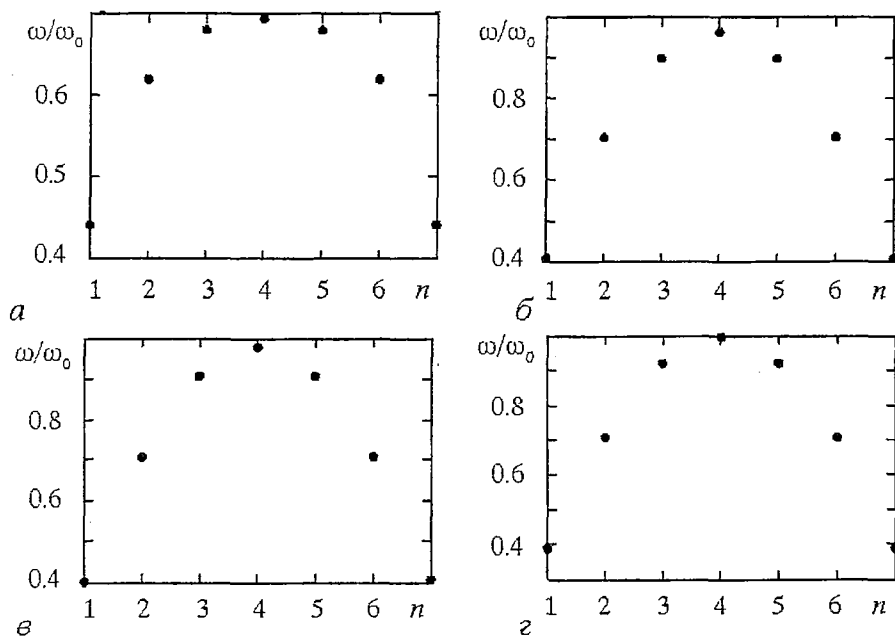


Рис. 4. Зависимости относительных частот колебаний  $\omega/\omega_0$  от номера моды: а -  $a=1.0$ ,  $\omega_0=1$ ; б -  $a=0.1$ ,  $\omega_0=1$ ; в -  $a=1.0$ ,  $\omega_0=4$ ; з -  $a=0.1$ ,  $\omega_0=4$

номера моды по формуле (11) при рассчитанных значениях  $k$ . При увеличении номера моды частота колебаний сначала монотонно растет, достигая максимума при  $n=4$ , потом монотонно падает. Одной и той же частоте колебаний соответствуют две моды, расположенные симметрично относительно моды с  $n=4$ .

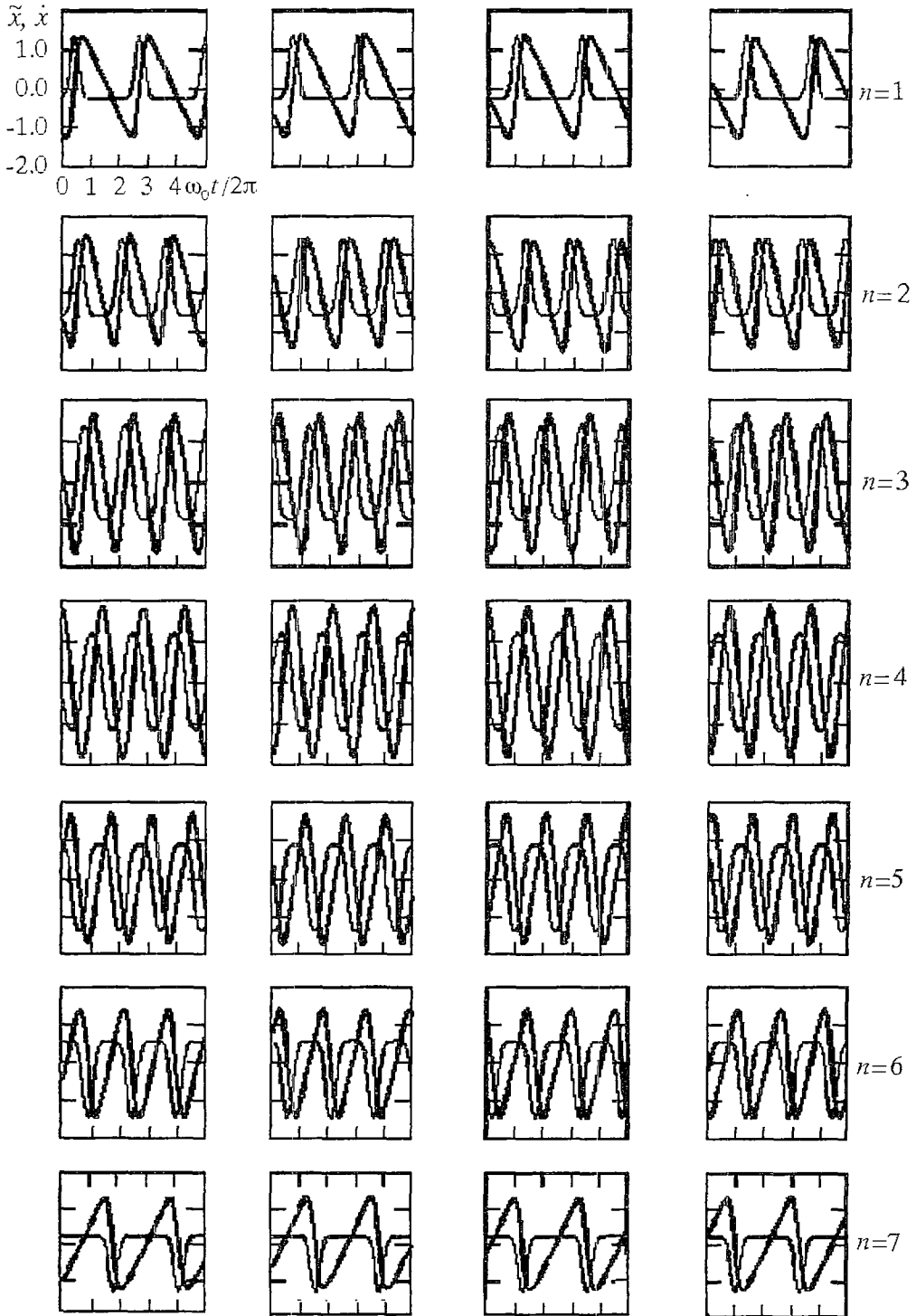


Рис. 5. Зависимости  $\tilde{x}_j \approx x_j - Ct$  и  $\dot{x}_j$  для первых четырех шариков от  $\omega_0 t / (2\pi)$  для всех возможных мод колебаний при  $N=8$ ,  $a=1.0$ ,  $\omega_0=1$

На рис. 5 приведены зависимости  $\tilde{x}_j = x_j - Ct$  и  $\dot{x}_j$  от  $\omega_0 t / (2\pi)$  для первых четырех шариков и всех возможных мод колебаний (скоростям шариков соответствуют тонкие линии). Из графика видно, что колебания, соответствующие первой, второй, седьмой и шестой модам (имеющие наибольшие  $k$ ), являются существенно негармоническими. Форма колебательной скорости шариков близка к светлому (при  $n \leq 3$ ) или темному (при  $n \geq 5$ ) солитонам.

Для проверки нашего метода расчета параметров автоколебаний мы проводили также численное решение исходных уравнений (3) при  $N=8$ ;  $\mu=0.1$ ;  $a=1.0, 0.1$ ;  $\omega_0=1, 4$ . Значения скоростей вращения и амплитуд колебаний оказались очень близки к соответствующим значениям, вычисленным аналитически.

### Заключение

В настоящей работе показано, что, используя решения для консервативной цепочки как порождающие и усредненные законы сохранения энергии и импульса, можно рассчитать формы автоколебаний, значения стационарных амплитуд и частот. Важно, что солитоноподобные колебания, которые трудно обнаружить в консервативной системе (даже при численном моделировании), проявляются в ней при внесении малой диссипации. Заметим, что рассмотренная автоколебательная система не является чисто теоретическим построением; подобные системы уже начали исследоваться экспериментально. Примером может служить аналоговая модель, состоящая из 6 электрических контуров [15]. Такие работы дают стимул к более глубоким теоретическим исследованиям диссипативных цепочек Toda, и мы надеемся, что подобные системы могут послужить прототипами для практического применения в новых устройствах.

### Библиографический список

1. Toda M. Waves in nonlinear lattice// Progr. Theor. Phys. Suppl. 1970. № 45. P. 174.
2. Toda M. Studies of nonlinear lattice//Phys. Reports. 1975. Vol. 18, № 1. P. 1.
3. Toda M. Theory of Nonlinear Lattices, Springer, Heidelberg–Berlin 1981.
4. Ланда П.С., Выгодин В.А. О самосинхронизации мод в лазерах// Квантовая электроника. 1977. Т. 4, № 4. С. 769.
5. Hiron M. Integrals of the Toda lattice// Phys. Rev. B. 1974. Vol. 9, № 4. P. 1921.
6. Hiron M., Heiles C. The applicability of the third integral of motion; some numerical experiments// Astrophys. J. 1964. Vol. 69, № 1. P. 73.
7. Кернер Б.С., Осипов В.В. Автосолитоны. М.: Наука, 1991.
8. Christov C.I., Velarde M.G. Dissipative solitons// Physica D. 1995. Vol. 86. P. 323.
9. Linde H. et al. // J. Colloid Interface Sci. 1997. Vol. 188. P. 16.
10. Makarov V., Ebeling W., Velarde M. Soliton-like waves on dissipative Toda lattices// Int. J. Bifurc. & Chaos, в печати (2000).
11. Ebeling W., Erdmann U., Dunkel J., Janssen M. Nonlinear dynamics and fluctuations of dissipative Toda chains// J. Stat. Phys., в печати (2000).
12. Ланда П.С. Нелинейные колебания и волны. М.: Наука, 1997.
13. Янке Е., Эмде Ф., Леш Ф. Специальные функции. М.: Наука, 1977.
14. Узем Дж. Линейные и нелинейные волны. М.: Мир, 1977.
15. Makarov V., Del Rio E., Ebeling W., Velarde M. Oscillatory modes in an array of electrical Rayleigh – Toda circuits. Preprint Instituto Pluridisciplinar, UCM Madrid (2000).

Московский государственный  
университет

Поступила в редакцию 23.09.2000

## SELF-OSCILLATIONS IN DISSIPATIVE RING TODA CHAIN

*P.S. Landa, V.G. Ushakov, W. Ebeling*

We study here different modes of self-oscillations in ring Toda chain with negative friction. Assuming that at small friction the shape of self-oscillations is close to one of the known Toda soliton-like solutions we use analytical methods in combination with numerical ones for study of the self-oscillations. We show that a Toda chain consisting of  $N$  elements possesses  $N+1$  different modes of self-oscillations. Among them two modes correspond to left and right rotations of the chain as a whole with a constant velocity. Each of the other modes represents a combination of moving soliton and the rotation with a velocity depending on the mode number. Only for the mode corresponding to anti-phase oscillation of the chain neighboring elements (such oscillation are possible for an even  $N$ ) the constant component of velocity is equal to zero.



*Ланда Полина Соломоновна* – родилась в 1931 году в Киеве, окончила физический факультет МГУ в 1953 году. С 1956 года работает на физическом факультете МГУ. Защитила диссертацию на соискание ученой степени кандидата физико-математических наук в МГУ (1959) и доктора физико-математических наук в Горьковском госуниверситете (1972) в области теории колебаний и волн. Профессор, ведущий сотрудник МГУ. Область научных интересов – теория колебаний и волн, радиофизика, применение методов нелинейной динамики в различных областях науки. Автор и соавтор пяти монографий по колебаниям и волнам, в том числе монографии «Стохастические и хаотические колебания», переведенной на английский язык, а также монографии «Нелинейные колебания и волны в динамических системах», вышедшей в издательстве «Kluwer» (Голландия). Член Национального комитета по механике (Россия). Опубликовала много научных статей по направлениям, указанным выше. Член редакционной коллегии журналов «Chaos, Solitons and Fractals» и «Прикладная нелинейная динамика».



*Ушаков Вадим Геннадьевич* – родился в 1977 году. В настоящее время – студент 6 курса физического факультета Московского государственного университета имени М.В. Ломоносова. Удостоен стипендии имени Леонарда Эйлера (1999), Соросовский студент (2000). Участник конференции «Ломоносов – 99». Имеет публикацию в Phys. Rev. E. Область научных интересов: автоколебания, стохастические процессы.



*Вернер Эбелинг* – окончил Ростокский университет (1958), профессор, заведующий кафедрой статистической физики Гумбольдского университета в Берлине. Известный физик-теоретик, один из ведущих специалистов по теории процессов самоорганизации и эволюции открытых неравновесных систем разной природы. Его ученики успешно работают во многих университетах и научных институтах. Имеет более 20 книг: от фундаментальных монографий по теории физики плазмы до научно-популярных книг по синергетике. Его книги неоднократно издавались на английском и на русском языках.